

# بررسی خواص فیزیکومکانیکی پاستیل فراسودمند غنی شده با روغن ماهی درونپوشانی شده در نانوژل کیتوزان-استئاریک اسید به روش امولسیون پیکرینگ

\*<sup>۱</sup>حسین میرزایی مقدم

۱- استادیار گروه آب و خاک دانشکده کشاورزی دانشگاه صنعتی شاهرود

(تاریخ دریافت: ۹۸/۰۴/۱۵ تاریخ پذیرش: ۹۸/۰۵/۱۴)

## چکیده

اگرچه اثرات مغاید روغن ماهی که غنی از اسیدهای چرب امگا ۳ می‌باشد، شناخته شده است. اما حساسیت بالای آن به اکسیداسیون و ایجاد ترکیبات نامطلوب استفاده از آن را در سامانه‌های غذایی محدود کرده است. بنابراین هدف از این مطالعه پوشش‌دهی روغن ماهی با نانوژل کیتوزان-استئاریک اسید به روش امولسیون پیکرینگ و وارد کردن آن در یک سامانه غذایی (پاستیل) و بررسی خواص فیزیکومکانیکی محصول بود. در ابتدا نانوژل کیتوزان-استئاریک اسید به روش خود تجمعی ایجاد شد و نتایج طیف سنجی مادون قرمز، اتصال موقتی آمیز بین کیتوزان و استئاریک اسید را تأیید کرد. همچنین عکس میکروسکوپ الکترونی روبشی، تشکیل نانوژرات تقریباً کروی شکل را نشان داد. در مرحله بعد امولسیون‌های پیکرینگ روغن ماهی در غلطنهای متفاوت با استفاده از نانوژل کیتوزان-استئاریک اسید تهیه و در فرمولاسیون پاستیل استفاده شد و در ادامه آزمون پروفایل بافت و همچنین اندازه‌گیری شاخص‌های رنگی روی نمونه‌ها انجام شد. نتایج آزمون پروفایل بافت نشان داد که وجود نانوژل باعث افزایش انعطاف پذیری (از ۹۹/۲٪ به ۸۸/۵٪) و چسبندگی (از ۰/۶۳Ns به ۰/۳۳Ns) و کاهش سختی (از ۱۲۵/۸.N به ۱۷۸/۶N) بافت نمونه‌های پاستیل شد. از طرف دیگر وجود روغن باعث کاهش تمام شاخص‌های بافتی شد. در مورد ویژگی‌های رنگی، نانوژل باعث کاهش شاخص‌های  $L^*$  (از ۵۸/۱۳ به ۵۶/۴۶) و  $a^*$  (از ۶/۴ به -۴/۴) شد. همچنین نتایج نشان داد که روغن ماهی در ترکیب با نانوژل، شاخص‌های رنگ را کاهش داد.

**کلید واژگان:** خواص فیزیکومکانیکی، روغن ماهی، پاستیل، نانوژل کیتوزان-استئاریک اسید، امولسیون پیکرینگ

\*مسئول مکاتبات: hosseinsg@yahoo.com

خرچنگ می باشد، به دلیل زیست سازگاری بالا مرتبأ مورد استفاده قرار گرفته است [۳]. مطالعات قبلی نشان داده است که کیتوزان خاصیت امولسیون کنندگی مناسبی ندارد. اما با اصلاح ساختار آن خاصیت امولسیون کنندگی آن را می توان بهبود داد [۴]. علاوه بر این نتایج تحقیقات قبلی نشان داده است که امولسیون‌های پیکرینگ در مقایسه با امولسیون‌های معمول که از سورفکتانت برای پایداری استفاده می‌کنند، اثر بهتری در کاهش اکسیداسیون روغن‌ها دارند که این اثر را مربوط به لایه ضخیم ایجاد شده در اطراف قطرات روغن در امولسیون‌های پیکرینگ مربوط می‌دانند [۵ و ۷]. عطاریان و همکاران در سال ۲۰۱۹ در تحقیقی نشان دادند که نانوژل‌های کیتوزان-استئاریک نسبت به کیتوزان اثر پایدار کنندگی بهتری در امولسیون روغن آفتاگردن در آب داشتند. همچنین این محققین گزارش کردند که پایداری اکسیداسیون امولسیون روغن آفتاگردن پایدار شده با نانوژل کیتوزان-استئاریک اسید، بیشتر از امولسیون پایدار شده با نوئین بوده است [۷]. با توجه به اینکه استفاده از امولسیون‌های پیکرینگ به ویژه آن‌هایی که حاوی روغن‌های سودمند از جمله روغن ماهی هستند، در سامانه‌های غذایی کمتر استفاده شده است. بنابراین هدف از این تحقیق پوشش دهی روغن ماهی با استفاده از نانوژل‌های کیتوزان استئاریک اسید به روش امولسیون پیکرینگ و در ادامه استفاده از آن در یک محصول پرطرفدار همانند پاستیل و بررسی خواص فیزیکومکانیکی آن می‌باشد.

## ۲- مواد و روش‌ها

### ۲-۱- مواد اولیه

روغن ماهی تهیه شده از شرکت پارس کیلکا امیرآباد بالسر (حاوی ۲۳ درصد اسید چرب امگا ۳ و اتانول، اسید استیک ۱٪ و سدیم هیدروکسید از شرکت مرک، آلمان خریداری شد. کیتوزان، اسید استئاریک و ۱-اکتیل-۱-(۳-دی متیل آمینو پروپیل) کربو دی ایمید هیدرو کلرید (EDC) از شرکت سیگما، آلمان تهیه شد. متانول از شرکت اطلس شیمی، ژلاتین از کارخانه ژلاتین حلal قزوین، گلوکز مایع از شرکت چی چست گلوکز ارومیه و شکر از فروشگاه سطح شهر تهیه شدند.

### ۱- مقدمه

با افزایش آگاهی و شیوع بیماری‌های مزمن نظیر فشار خون بالا، سرطان، افسردگی، بیماری‌های قلبی و آلزایمر، مصرف جهانی مکمل‌های غذایی و محصولات حاوی روغن ماهی به سرعت افزایش یافته است. روغن ماهی، در واقع معنی اصلی امگا ۳ اسیدهای چرب غیر اشباع (PUFA) است. اکثر مزایای روغن-های ماهی، می‌توانند به دو اسید چرب دوکوزاهگرائنوئیک اسید (DHA) و ایکوزاپتانوئیک اسید (EPA)، نسبت داده شوند. از جمله بیماری‌هایی که اسیدهای چرب (۳-۰) در بهبود آن‌ها نقش دارند شامل بیماری‌های قلبی سعروقی، سرطان سینه و پروستات، میگرن و انواع سردردها، استرس، نا باروری، بیماری‌های گوارشی، اختلالات بینایی، سکته، دیابت، اختلالات روده‌ای-معده‌ای می‌باشند. اسیدهای چرب (۳-۰) به دلیل کاربردهای درمانی و تغذیه‌ای زیادی که دارند در سال‌های اخیر مورد توجه قرار گرفته‌اند. اما حساسیت بالای آن‌ها به اکسیداسیون استفاده از آن‌ها را در مواد غذایی دچار مشکل کرده است. روش‌های مختلفی برای محافظت از این ترکیبات از جمله استفاده از درون-پوشانی وجود دارد [۱]. امولسیون‌های روغن در آب به عنوان وسیله‌ای برای درون‌پوشانی ترکیبات لیپوفیلی از جمله چربی‌های عملکردی و سایر ترکیبات زیست فعال به طور گسترده در زمینه‌ی غذا، تغذیه و دارو مورد استفاده قرار می‌گیرند. انواع مختلف امولسیفایرها می‌توانند برای ثبت سیستیکی امولسیون-های غذا استفاده شوند، اما سورفاکانت‌های معمولی اثرات نامطلوب بر اینمی غذا دارند. در سال‌های اخیر، علاقه به استفاده از ذرات یا نانو ذرات سازگار با مواد غذایی برای ثبت امولسیون‌های مواد غذایی افزایش یافته است. امولسیون‌های ثبت شده با مواد جامد که معمولاً به عنوان امولسیون پیکرینگ شناخته می‌شوند، از ذرات جامد با آبگریزی متوسط استفاده می‌کنند که به شدت در میان دو مایع غیر قابل امتصاف جذب می‌شوند تا مانع در برابر جمع شدن قطرات امولسیون شوند [۲]. در دهه گذشته، دامنه‌ی وسیعی از نانوذرات پلی‌ساقاریدی برای درون‌پوشانی ترکیبات زیستی مورد تحقیق قرار گرفته است. در میان ساختارهای پلی‌ساقاریدی، کیتوزانی که توسط استیلن زدایی کیتین تولید می‌شود و ترکیب اصلی سخت پوستان، مانند میگو و

## ۲-۲- روش‌های آزمایش

### ۲-۲-۱-آماده سازی نانوژل کیتوزان-اسید استئاریک

تهیه نانوژل کیتوزان-اسید استئاریک به روش فراصوت و اتصال اسید استئاریک به کیتوزان با تشکیل پیوندهای آمیدی با یک واکنش دهنده (۱-اتیل-۱-(۳-دی متیل آمینو پروپیل) کربو دی ایمید هیدرو کلرید (EDC)) انجام شد. در ابتدا، ۱ گرم کیتوزان در ۱۰۰ میلی لیتر اسید استیک آبی ۱٪ حجمی/حجمی حل شد. سپس محلول حاصل تحت امواج فراصوت قرار داده شد. در ادامه ۱۰۰ میلی گرم EDC با ۲۵۰ میلی گرم اسید استئاریک به همراه ۵ میلی لیتر اتانول مخلوط شد و سپس قطره قطره به محلول کیتوزان اضافه شد. سپس محلول به مدت ۲۴ ساعت مخلوط و هم زده شد. بعد از آن pH محلول با استفاده از سدیم هیدروکسید ۱ مولار به منظور رسوب نانوژل روی ۸/۵-۹ تنظیم شد. سپس محلول به منظور رسوب نانوژل‌ها در سرعت ۴۰۰۰ دور بر دقیقه سانتریفیوژ شد. در پایان رسوب نانوژل به دست آمده برای حذف مواد واکنش نداده و همچنین EDC توسط اتانول و آب مقطر سه مرتبه شسته شد.<sup>[۷]</sup>

### ۲-۲-۳- FT-IR

در این پژوهش برای تأیید تشکیل ساختار نانوژل‌ها، طیف سنجی مادون قرمز در دمای ۲۰ درجه سلسیوس و در دامنه  $500\text{ cm}^{-1}$  تا ۴۰۰۰ انجام داده شد.<sup>[۳]</sup> به این منظور مقداری از نانوژل‌های کیتوزان-اسید استئاریک خشک شده به همراه اسید استئاریک و کیتوزان با پودر خالص KBr مخلوط شدند و سپس از آن‌ها قرص‌های فشرده تهیه گردید. طیف نمونه‌های مورد نظر با دستگاه اسپکتروسکوپی مادون قرمز (مدل ۴۳۰ Jascow) ساخت کشور ژاپن (اندازه‌گیری و بررسی شد).

### ۲-۳-۱- آزمون میکروسکوپ الکترونی روبشی (SEM)

از میکروسکوپ الکترونی روبشی برای مطالعه مورفوولژی ساختار نانوذرات استفاده شد. به این صورت که ابتدا چند قطره از محلول نانوژل روی لام ریخته شد و در دمای محیط خشک و در انتهای نمونه‌ها با طلا پوشش داده شدند، سپس از دستگاه SEM (مدل KYKY- EM 3200) ساخت کشور چین) برای عکس برداری از نمونه‌ها استفاده شد.

### ۲-۳-۲- آماده سازی امولسیون‌های پیکرینگ روغن ماهی در آب

برای تهیه امولسیون‌های پیکرینگ، مقادیر معینی از روغن ماهی و محلول نانوژل تهیه و به وسیله همزن دور بالا (به مدت دو دقیقه) از روش اصلاح شده موانگی و همکاران، استفاده شد.<sup>[۸]</sup>

### ۲-۳-۳- اندازه‌گیری میانگین اندازه قطرات

برای اندازه‌گیری اندازه قطرات روغن پس از ۳۰ دقیقه از تهیه امولسیون، یک قطره از نمونه امولسیون با سمپلر برداشته و به آرامی بر روی لام شیشه‌ای ریخته شد و سپس با استفاده میکروسکوپ نوری (مدل GX Microscopes، ساخت کشور استرالیا) و دوربین دیجیتال ۲ مگا پیکسل عکس گرفته شد. در ادامه ادامه از نرم افزار jImage برای تخمین میانگین اندازه قطرات استفاده شد.<sup>[۹]</sup>

### ۲-۳-۴- آزمون میکروسکوپ اسکن لیزری کانفوکال (CLSM)

میکروسکوپ اسکن لیزری کانفوکال (هیدلبرگ)، ساخت کشور آلمان) برای نمایش بهتر ساختار فضایی قطرات امولسیون پیکرینگ استفاده شد. قبل از آماده سازی امولسیون، نانوژل کیتوزان-استئاریک اسید با FITC مطابق روش عطاریان و همکاران (۲۰۱۹) واکنش داده شد.<sup>[۷]</sup> در ادامه امولسیون روغن ماهی با استفاده از نانوژل کیتوزان-استئاریک اسید متصل شده به FITC تهیه شد. قبل از تهیه امولسیون به روغن ماهی محلول Nile red اضافه شد. در ادامه یک قطره از امولسیون رنگ آمیزی Nile red روی لام قرار داده شد و با استفاده از میکروسکوپ کانفوکال از آن عکس تهیه شد. برای تهیه عکس فلورستن لیزر آرگون با ۵۳۲ نانومتر برای Nile red و ۴۸۸ نانومتر برای FITC استفاده شد.

### ۲-۳-۵- روش تهیه پاستیل

بعد از انجام آزمایشات اولیه، اجزای فرمولاسیون مخلوط پایه پاستیل‌ها، شامل ۱۳۲ گرم ژلاتین، ۳۳۰ گرم آب مقطّر، ۶۶ گرم شکر، ۱۳۲ گرم گلوکز مایع در حمام آب گرم (دمای ۷۰ درجه سلسیوس) به مدت یک ساعت تهیه شد. سپس برای تهیه هر یک از تیمارهای مورد بررسی، طبق جدول (۱)، به ۹۰ گرم از مخلوط حاضر در همین شرایط، مقادیر معینی از امولسیون تهیه شده

ابعاد  $20 \times 10 \times 10$  mm برش خورده و به مدت ۴ ساعت در دمای محیط قرار داده شدند. در پایان نمونه‌ها تا زمان انجام آزمایش داخل زیپ کیپ‌های پلاستیکی در دمای محیط نگهداری شدند.

افزوده شد. پس از ۱۵ دقیقه، نمونه‌ها در قالب‌های سیلیکونی به ابعاد  $80 \times 50 \times 20$  mm ریخته شدند. سپس به مدت ۱۲ ساعت در دمای ۴ درجه سلسیوس نگهداری شدند و پس از آن نمونه‌ها در

**Table 1** Different compounds of the treatments

Treatment	Distilled water (gr)	Nanogel (gr)	Fish oil (gr)	Blended (gr): Glucose (132gr)+Gelatin (132gr)+Sugar (66gr)	Distilled water (330gr)
Control	10	0	0	90	
2% fish oil	10	0	2	90	
1% fish oil+ 0.1% nanogel	0	10	1	90	
2% fish oil+ 0.1% nanogel	0	10	2	90	
3% fish oil+ 0.1% nanogel	0	10	3	90	
0.1% nanogel	0	0	10	90	

### ۲-۷-۲-۳- ارزیابی رنگ

به منظور اندازه‌گیری پارامترهای رنگی نمونه‌های پاستیل، از هر تیمار سه قطعه به طور تصادفی انتخاب شده و در جعبه مخصوص عکس‌برداری قرار داده شدند و تصاویر تهیه گردید و مراحل پردازش تصویر با استفاده از نرم افزار فتوشاپ انجام شد. رنگ نمونه‌ها بر اساس سه مولفه  $L^*$ ,  $a^*$  و  $b^*$  قرائت شد که  $L^*$  بیانگر روشنایی است و دامنه آن از ۰ تا ۱۰۰ می‌باشد.  $a^*$  و  $b^*$  به ترتیب بیانگر قرمزی و زردی ترکیبات رنگی می‌باشند که از ۱۲۰ تا ۱۲۰ + تغییر می‌کنند. در ادامه با توجه به روابط (۱-۳)، (۲-۳) و (۳-۳)، به ترتیب کرومَا<sup>۶</sup> (غلظت رنگ)، زاویه هیو<sup>۷</sup> (شدت رنگ) و اختلاف رنگ کل<sup>۸</sup> ( $\Delta E$ ) برای هر نمونه محاسبه شد [11-12].

$$C^* = \sqrt{(a^*)^2 + (b^*)^2} \quad (1-3)$$

$$H^\circ = \arctan\left(\frac{b^*}{a^*}\right) \quad (2-3)$$

(۳-۳)

$$\Delta E = \sqrt{(L_0 - L^*)^2 + (a_0 - a^*)^2 + (b_0 - b^*)^2}$$

که در این روابط،  $C^*$ : کرومَا،  $H^\circ$ : زاویه هیو،  $\Delta E$ : اختلاف رنگ کل و  $a_0$ ,  $b_0$  و  $L_0$  معرف مولفه‌های رنگ نمونه شاهد می‌باشند.

6. Chroma  
7. Hue angle  
8. Total color difference

### ۲-۷-۲-۳-۱- بررسی ساختار میکروسکوپی

پس از آماده سازی و خشک شدن نمونه‌های مختلف پاستیل، برای بررسی ساختار میکروسکوپی و همچنین نحوه پراکنده‌گی قطرات روغن، از سطح نمونه‌های پاستیل یک برش نازک با میکروسکوپ تهیه و با میکروسکوپ نوری (مدل GX Microscopes) ساخت کشور استرالیا) و دوربین دیجیتال ۲ مگا پیکسل عکس گرفته شد.

### ۲-۷-۲-۳-۲- ارزیابی خواص فیزیکومکانیکی پاستیل

#### ۲-۷-۲-۳-۱- آزمون پروفایل بافت

در این پژوهش به منظور آنالیز پروفایل بافت (TPA)<sup>۹</sup> و تعیین ویژگی‌های بافت نمونه‌های پاستیل تولیدی، از دستگاه آزمون مواد ساخت ایران، شرکت ستام استفاده شد. بدین منظور، از هر تیمار نمونه‌هایی در ابعاد  $20 \times 10 \times 10$  mm تهیه شده و هر یک از نمونه‌ها در دو سیکل رفت و برگشتی (دو رفت و دو برگشت)، توسط پروب سیلندری به قطر ۶۰ mm و سرعت حرکت ۶۰ mm/min تا ۸۰ درصد ارتفاع اولیه فشرده شده، سپس فشار زدایی شدند. برای هر تیمار ۶ تکرار در نظر گرفته شد. سپس با استفاده از داده‌های مربوط به نمودارهای نیرو-تغییر شکل بدست آمده از حافظه دستگاه، منحنی‌های نیرو-زمان برای هر یک از نمونه‌ها ترسیم شده و با استفاده از این منحنی‌ها ویژگی‌های بافتی سختی<sup>۱۰</sup>، قابلیت جویدن<sup>۱۱</sup>، انعطاف‌پذیری<sup>۱۲</sup> و چسبندگی<sup>۱۳</sup> هر نمونه تعیین شد.

1. Texture profile analysis

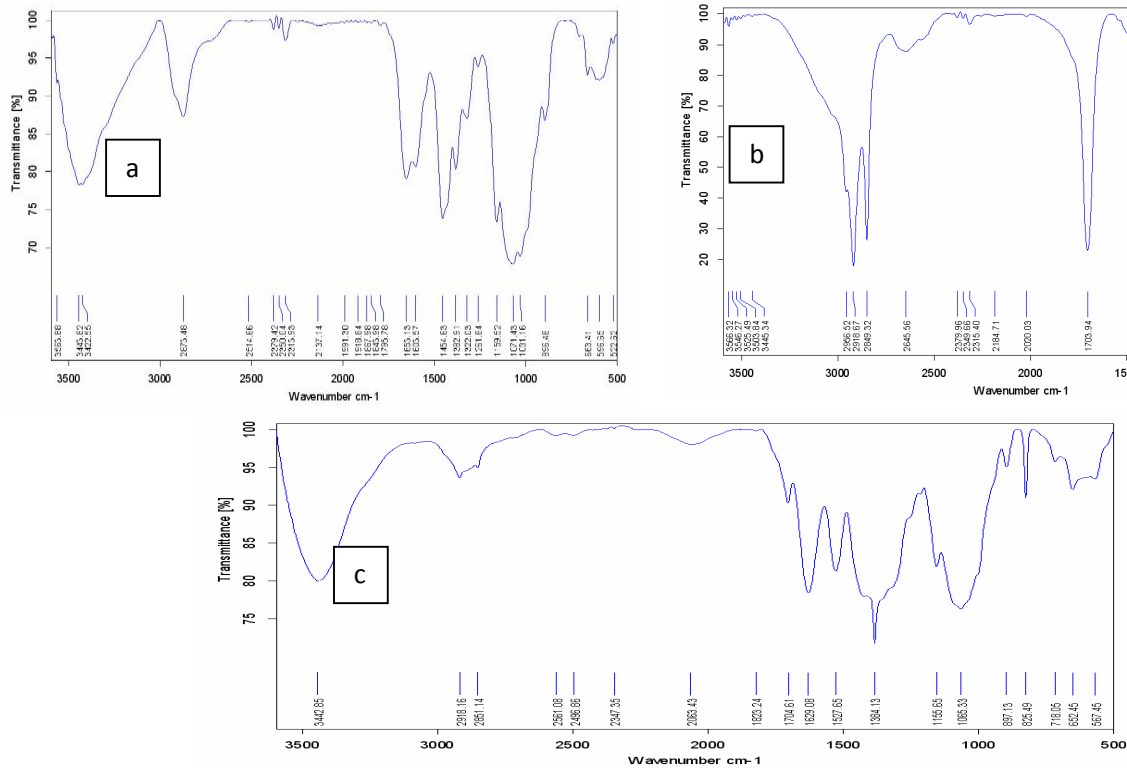
2. Hardness

3. Chewiness

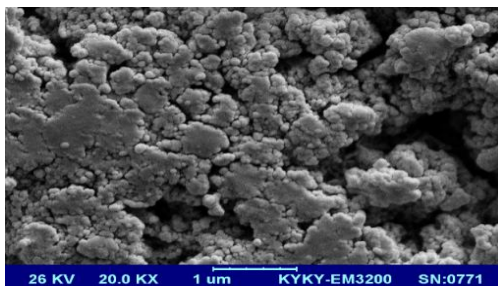
4. Springiness

5. Adhesion

کیتوzan، قسمتی از گروه‌های آمین آزاد کیتوzan به گروه‌های کربوکسیل استئاریک اسید با استفاده از حد واسط EDC متصل شدند. به منظور تأیید باند ایجاد شده بین گروه آمین کیتوzan و کربوکسیل اسید استئاریک طیف‌های حاصل از دستگاه طیف سنت FT-IR استفاده شد. در شکل (۱) طیف‌های FT-IR مربوط به کیتوzan، اسید استئاریک و نانوژل‌های کیتوzan-اسید استئاریک نشان داده شده است. در شکل (a-۱) طیف کیتوzan، جذب در ناحیه  $3500\text{--}3400\text{ cm}^{-1}$  را نشان می‌دهد که این مربوط به گروه هیدروکربوکسیل کیتوzan می‌باشد. در  $2875\text{ cm}^{-1}$  پیک مربوط به ارتعاش کششی گروه‌های  $\text{CH}_2$  است. در  $2137\text{ cm}^{-1}$  و  $1656\text{ cm}^{-1}$  به N-تریپتیک‌ها مربوط به ارتعاشات کششی گروه‌های N-C و N-H آمید کیتوzan ( گروه‌های آمین دی استیله نشده) مشاهده می‌شود. پیک در  $1454\text{ cm}^{-1}$  مربوط به ارتعاشات C-H موجود در حلقه‌های قند است.



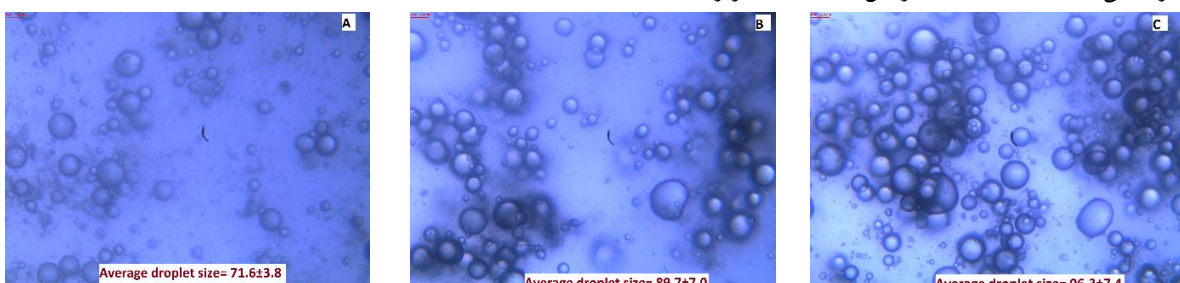
کیتوزان می‌باشد که این باعث آرایش و تجمع قسمت‌های آبگریز به سمت مرکز و قسمت‌های آبدوست به سمت بیرون و در نتیجه تشکیل ساختاری مجتمع در حد نانومتر شده است. این نتایج با یافته‌های مطالعات دیگر محققین مطابقت دارد [۳ و ۵].



**Fig 2** Scanning electron microscopy (SEM) micrograph of chitosan-stearic acid nanogel.

### ۲-۳- اندازه ذرات امولسیون

در مرحله بعدی، نانوژلهای کیتوزان-استاریک اسید به عنوان پایدار کننده امولسیون روغن ماهی در آب استفاده شد. در این قسمت اثر میزان روغن ماهی بر اندازه قطرات امولسیون در غلظت نانوژل ثابت بررسی شد. لازم به ذکر است که اندازه قطرات روغن می‌تواند بر خصوصیات فیزیکی پاستیل موثر باشد. در شکل ۳ میانگین اندازه ذرات و همچنین عکس میکروسکوپ نوری امولسیون‌های پیکرینگ پایدار شده با نانوژل کیتوزان-استاریک اسید در غلظت‌های مختلف روغن نشان داده شده است.



**Fig 3** Average droplet size and optical microscopic images of the emulsions stabilized by CS-SA nanogels with 10% (A), 20% (B) and 30% (C) fish oil after 30 min.

### ۲-۴- آزمون میکروسکوپ اسکن لیزری کانفوکال (CLSM)

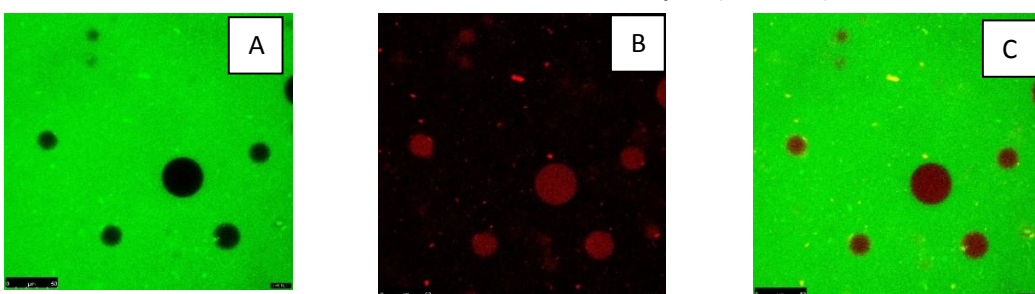
ساختار مورفولوژی امولسیون‌های پیکرینگ، شامل ویژگی‌های بین سطحی (ترکیب و ضخامت) روی پایداری فیزیکی موثر است. آزمون میکروسکوپ اسکن لیزری کانفوکال برای نشان

گروه کربوکسیل اسید چرب، پیک  $\text{cm}^{-1}$  ۹۳۶ مربوط به ارتعاش خمشی O-H اسید کربوکسیلیک، و پیک  $\text{cm}^{-1}$  ۶۸۷ مربوط به ارتعاش خمشی C-H است [13]. در شکل (C-1) طیف مربوط به نانوژل کیتوزان-استاریک اسید نشان داده شده است. وجود پیک در ناحیه ۱۶۲۹ مربوط به ارتعاشات گروه‌های آمید آمین‌های استیله شده [۱۴] و همچنین پیوندهای آمید جدید تشکیل شده در اثر اتصال بین کیتوزان و استاریک اسید می‌باشد. وجود پیک در ناحیه ۱۵۲۷ به ارتعاش NH گروه آمید نوع دوم مربوط است [۱۵] که می‌تواند در نتیجه تشکیل پیوند بین کیتوزان و استاریک اسید باشد. در طیف مربوط به نانوژل یک پیک در ناحیه ۱۷۰۴ مشاهده می‌شود که همین پیک در طیف مربوط به استاریک اسید (مربوط به ارتعاش کششی C=O) نیز مشاهده می‌گردد. این پیک نشان می‌دهد که تعدادی از گروه‌های کربوکسیلیک اسید استاریک اسید با برهمکنش‌های الکترواستاتیکی به زنجیره کیتوزان متصل شده‌اند. عطاریان و همکاران در سال ۲۰۱۹ نیز نتایج مشابه با کار حاضر را گزارش کردند [۷].

در شکل (۲) عکس میکروسکوپ الکترونی روبشی مربوط به نانوژلهای کیتوزان-استاریک اسید نشان داده شده است. همان‌گونه که در شکل مشاهده می‌شود رشته‌های کیتوزان-استاریک اسید توانسته‌اند با تجمع در کنار یکدیگر ذراتی در حدود ۱۰۰ نانومتر ایجاد کنند. تشکیل ذرات نسبتاً کروی شکل توسط رشته‌های کیتوزان-استاریک اسید احتمالاً به دلیل اتصال زنجیره‌های غیر قطبی استاریک اسید و افزایش خاصیت آبگریزی ساختار

نتایج نشان می‌دهد که با افزایش میزان روغن میانگین اندازه قطرات افزایش یافته است. این یافته با نتایج مطالعات محققین دیگر نیز در تطابق می‌باشد [۶ و ۹]. علاوه براین شکل (۳) نشان می‌دهد که با افزایش میزان روغن تراکم قطرات روغن در امولسیون بیشتر شده است.

روی سطح قطرات یک لایه تشکیل داده است که می‌تواند یک مانع فضایی در مقابل کووالنس ایجاد کند. علاوه بر این می‌توان مشاهده کرد که نانوژل‌های کیتوزان یک شبکه متراکم و پیوسته در فضای بین قطرات روغن نیز ایجاد کرده‌اند. بنابراین می‌توان گفت که در این نوع امولسیون پیکرینگ ممانعت فضایی ایجاد شده به صورت تک لایه و ساده نیست، بلکه یک شبکه از ذرات جذب شده در سطح بین روغن و آب می‌باشد که باعث ممانعت فضایی شده است. یافته‌های این تحقیق با مطالعات دیگران مطابقت دارد [۱۷] و [۱۶].



**Fig 4** CLSM images of the chitosan-stearic acid nanogel nanogels-stabilized Pickering emulsions at 20% oil fraction: CS-SA nanogels was stained by FITC (green) excited at 488 nm (A); fish oil was stained with Nile Red (red) excited at 488 nm (B); C was combined image of A and B.

شده است. لازم به ذکر است که مشاهده چشمی نیز نشان داد که در نمونه پاستیل حاوی روغن بدون نانوژل، یک لایه روغن ماهی در سطح رویی پاستیل ایجاد شده بود در صورتیکه این لایه روغنی در مورد هیچکدام از نمونه‌های دیگر مشاهده نشد. با توجه به شکل (۵) مشاهده می‌شود که در نمونه‌های حاوی روغن ماهی پایدار شده با نانوژل کیتوزان-استئاریک اسید، قطرات روغن در بافت پاستیل به طور پراکنده پخش شده‌اند. نکته قابل توجه در شکل (۵) مربوط به نمونه پاستیل حاوی نانوژل بدون روغن ماهی می‌باشد. با مقایسه این نمونه با نمونه پاستیل شاهد، مشاهده می‌شود که در نمونه حاوی نانوژل یکسری نواحی تیره که تقریباً به صورت رشته‌ای هستند وجود دارد. این نواحی تیره احتمالاً به دلیل تجمع رشته‌های کیتوزان-استئاریک اسید ایجاد شده است.

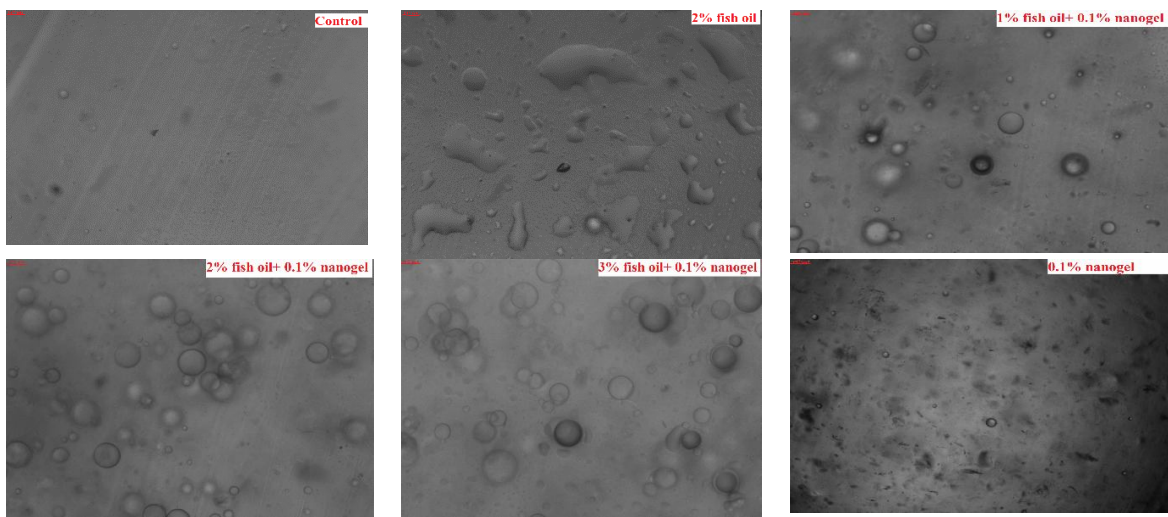
دادن ساختار بین سطحی امولسیون پیکرینگ تهیه شده با نانوژل کیتوزان اسید استئاریک استفاده شد که عکس‌های آن در شکل (۴) نشان داده شده است.

نانوژل‌های کیتوزان-اسید استئاریک بواسیله FITC و فاز روغن، بواسیله red Nile red رنگ آمیزی شد. بنابراین در شکل (۴) رنگ سبز (A) و قرمز (B) به ترتیب نانوژل و فاز روغنی را نشان می‌دهد. شکل (C-۴) عکس‌های فلورسانس ترکیب شده امولسیون پیکرینگ می‌باشد. همچنین با توجه به شکل (۴) فاز روغنی در داخل قطرات قرار گرفته است. در حالیکه نانوژل‌های کیتوزان بر

### ۳-۳-۳ خواص فیزیکومکانیکی پاستیل‌های غنی شده با روغن ماهی

#### ۳-۳-۱-۱ پراکنده‌گی قطرات روغن در بافت

پس از تهیه نمونه‌های پاستیل مختلف، به منظور بررسی میزان پراکنده‌گی روغن و نانوژل در نمونه‌ها از سطح نمونه‌ها با میکروسکوپ نوری عکس برداری انجام شد. در شکل (۵) عکس‌های میکروسکوپ نوری حاصل از سطح نمونه‌های مختلف پاستیل نشان داده شده است. با توجه به شکل (۵) مشاهده می‌شود که در نمونه حاوی ۲ درصد روغن ماهی بدون نانوژل، روغن در سطح پاستیل تجمع پیدا کرده است. این نتیجه نشان می‌دهد که ژلاتین نتوانسته پراکنده‌گی قطرات روغن در محیط را پایدار کنند و به تدریج قطرات روغن از بافت داخلی پاستیل جدا



**Fig 5** Surface microscopic images of different gummy candy samples.

نمونه‌ها کاهش یافته است و با افزایش میزان روغن، قابلیت جویدن، کاهش بیشتری داشته است. روند مشاهده شده در مورد ویژگی قابلیت جویدن تقریباً مشابه ویژگی سختی نمونه‌های است. شباهت روند این دو ویژگی احتمالاً به دلیل همبستگی بالای آن‌ها می‌باشد. همچنین با توجه به شکل (۶-۴) با افزودن فقط نانوژل کیتوزان به نمونه‌ها، چسبندگی آن‌ها افزایش یافته است و این در صورتی است که افزودن روغن به طور معنی‌داری باعث کاهش چسبندگی نمونه‌ها شده است. بیشتر تحقیقات در زمینه اثر ترکیب کیتوزان و ژلاتین بر خواص مکانیکی در مورد فیلم‌های خوراکی می‌باشد و به طور مشخص در مورد پاستیل مشاهده نشد. به همین دلیل تحقیقات انجام شده در مورد فیلم‌های خوراکی که تقریباً نزدیک‌ترین حالت به بافت پاستیل را دارند برای تفسیر نتایج مورد استفاده قرار گرفت. از جمله این تحقیقات، بنتاب و همکاران (۲۰۱۴) در بررسی خواص مکانیکی فیلم‌های ژلاتین/کیتوزان، گزارش کردند که فیلم‌های حاصل از ژلاتین به تنها ی استحکام بیشتر و انعطاف‌پذیری کمتری نسبت به فیلم کیتوزانی داشت. همچنین اضافه شدن کیتوزان به فیلم‌های ژلاتینی باعث کاهش سفتی و افزایش انعطاف‌پذیری شد.

**۲-۳-۳- آزمون پروفایل بافت**  
در شکل (۶) نتایج حاصل از آزمون پروفایل بافت نمونه‌های مختلف پاستیل که شامل سختی، انعطاف پذیری، قابلیت جویدن و چسبندگی است، نشان داده شده است. با توجه به شکل (۶-a)، مشاهده می‌شود که سختی نمونه شاهد که تنها بسیار ژلاتین در آن وجود داشته از تمام نمونه‌ها بیشتر بوده است. نتایج حاصل از سختی نشان می‌دهد که با افزودن روغن ماهی و نانوژل کیتوزان ۲٪ سختی نمونه‌ها کاهش یافته است. با مقایسه دو نمونه حاوی روغن ماهی مشاهده می‌شود که نانوژل باعث کاهش اثر روغن بر میزان سختی نمونه‌ها شده است. این نتیجه نشان می‌دهد که استفاده از روغن ماهی بدون پوشش دهنده اولیه باعث سست شدن بافت پاستیل و به دنبال آن کاهش سختی شده است.  
در مورد نتایج انعطاف‌پذیری (شکل ۶-b) مشاهده می‌شود که افزودن نانوژل کیتوزان به ساختار پاستیل باعث افزایش معنی‌دار خاصیت انعطاف‌پذیری در مقایسه با نمونه شاهد شد و علاوه بر این افزودن روغن به نمونه‌ها باعث کاهش خاصیت انعطاف‌پذیری شده است. همان‌طور که در شکل (۵-۶) نشان داده شده است، با افزودن روغن ماهی و نانوژل، قابلیت جویدن

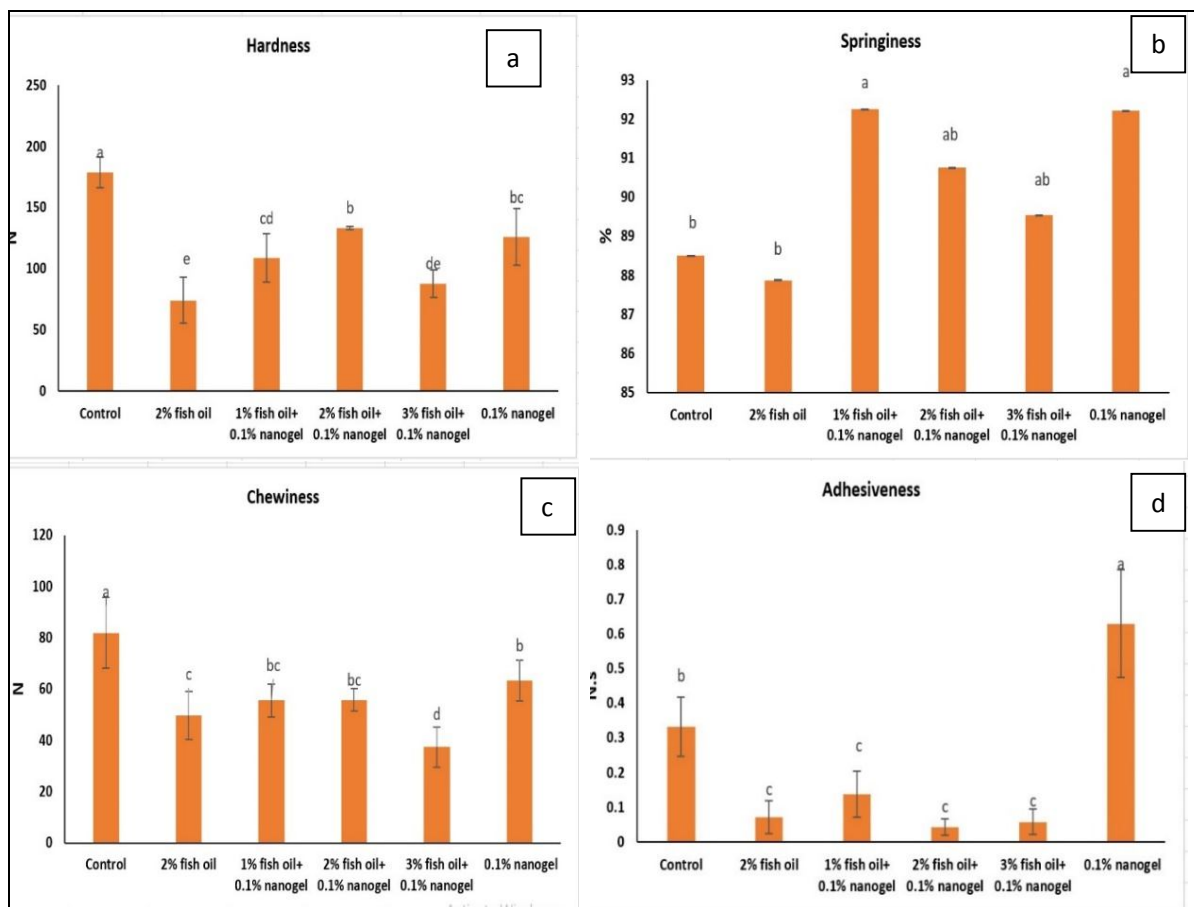


Fig 6. Hardness, springiness, chewiness and adhesiveness of gummy candy samples.

ناهمگن شدن ساختار و همچنین اثر منفی بر نیروهای چسبندگی ساختار مربوط دانستند [۱۱].

### ۳-۳-۳-آزمون رنگ

نتایج آزمون رنگ نمونه‌های مختلف پاستیل در جدول (۲) نشان می‌دهد که اضافه شدن نانوژل به ساختار پاستیل در مقایسه با نمونه شاهد تنها در مورد شاخص روشنایی ( $L^*$ ) و  $a^*$  اثر معنی‌داری داشته است و باعث کاهش معنی‌دار این شاخص‌ها در سطح ۵ درصد شده است. لازم به ذکر است که مقادیر مثبت شاخص  $a^*$  معادل رنگ قرمز و مقادیر منفی معادل رنگ سبز می‌باشد. این نتیجه نشان می‌دهد که نانوژل میزان رنگ سبز پاستیل را کاهش داده است. نتایج مربوط به شاخص روشنایی در تحقیق حاضر با نتایج محققین پیشین، مبنی بر بیشتر بودن شاخص روشنایی فیلم‌های ژلاتینی در مقایسه با فیلم‌های کیتووزانی در تطابق است [۱۲].

این محققین استحکام بیشتر و انعطاف‌پذیری کمتر فیلم‌های ژلاتینی را به شبکه متراکم‌تر ایجاد شده توسط ژلاتین مرتبط دانستند. بدین صورت که زمانیکه کیتووزان با ژلاتین ترکیب می‌شود به دلیل بر همکنش بین این دو بسپار، پیوندهای هیدروژنی بین بسپارهای ژلاتین کاهش بافته و در واقع کیتووزان به عنوان یک روان‌ساز<sup>۱</sup> عمل کرده که این باعث انعطاف‌پذیری بیشتر شده است [۱۲]. این نتایج در تطابق با یافته‌های مربوط به سختی و انعطاف‌پذیری تحقیق حاضر می‌باشد. در زمینه اثر روغن بر خصوصیات بافتی فیلم‌های خوارکی تحقیقات مختلفی انجام شده است. از جمله والنزوولا و همکاران (۲۰۱۳) در بررسی اثر روغن آفتابگردان بر خصوصیات فیزیکی فیلم ترکیبی کیتووزان و پروتئین گزارش کردند که روغن باعث کاهش استحکام فیلم‌ها شد. این محققین کاهش استحکام فیلم‌ها را در اثر اضافه شدن روغن به

1. Plasticizer

**Table 2** Color parameters of gummy candies

Treatment	L*	a*	b*	$\Delta E$	Hue Angle	Chroma
Control	58.13 $\pm$ 0.11 <sup>a</sup>	-6.50 $\pm$ 0.15 <sup>a</sup>	52.86 $\pm$ 0.75 <sup>bc</sup>	-	95.58 $\pm$ 2.36 <sup>a</sup>	53.15 $\pm$ 0.94 <sup>bc</sup>
2% fish oil	56.60 $\pm$ 0.60 <sup>b</sup>	-4.53 $\pm$ 0.11 <sup>b</sup>	54.20 $\pm$ 0.20 <sup>a</sup>	2.17 $\pm$ 0.4 <sup>d</sup>	94.78 $\pm$ 0.12 <sup>ab</sup>	54.38 $\pm$ 0.19 <sup>a</sup>
1% fish oil+ 0.1% nanogel	55.93 $\pm$ 0.80 <sup>b</sup>	-3.00 $\pm$ 0.52 <sup>c</sup>	53.40 $\pm$ 0.40 <sup>ab</sup>	3.26 $\pm$ 0.17 <sup>c</sup>	93.21 $\pm$ 0.59 <sup>bc</sup>	53.48 $\pm$ 0.37 <sup>ab</sup>
2% fish oil+ 0.1% nanogel	54.40 $\pm$ 0.91 <sup>c</sup>	-1.73 $\pm$ 0.50 <sup>d</sup>	52.06 $\pm$ 0.90 <sup>c</sup>	5.25 $\pm$ 0.56 <sup>b</sup>	91.91 $\pm$ 0.56 <sup>cd</sup>	52.09 $\pm$ 0.89 <sup>c</sup>
3% fish oil+ 0.1% nanogel	53.60 $\pm$ 0.91 <sup>c</sup>	-0.46 $\pm$ 0.50 <sup>c</sup>	50.46 $\pm$ 0.30 <sup>d</sup>	7.01 $\pm$ 0.71 <sup>a</sup>	90.53 $\pm$ 0.57 <sup>d</sup>	50.47 $\pm$ 0.30 <sup>d</sup>
0.1% nanogel	56.46 $\pm$ 0.94 <sup>b</sup>	-4.40 $\pm$ 0.69 <sup>b</sup>	52.46 $\pm$ 0.23 <sup>bc</sup>	2.06 $\pm$ 0.63 <sup>d</sup>	94.79 $\pm$ 0.76 <sup>ab</sup>	52.65 $\pm$ 0.20 <sup>bc</sup>

Values with different letters in same column are significantly different, p&lt;0.05.

## ۴- نتیجه گیری

در این تحقیق روش امولسیون پیکرینگ با استفاده از پایدار کننده نانوژل کیتوزان-استئاریک اسید، برای درون پوشانی روغن ماهی و در ادامه غنی سازی پاستیل استفاده شد. نتایج نشان داد که درون-پوشانی روغن ماهی با این روش به خوبی باعث قرار گیری روغن ماهی در بافت پاستیل شد. علاوه بر این درون پوشانی با نانوژل اگرچه سختی بافت پاستیل را کاهش داد اما از طرف دیگر باعث بهبود خاصیت انعطاف پذیری شد. با توجه به نسبتاً آسان بودن این روش درون پوشانی پیشنهاد می شود در مورد محصولات دیگر نیز استفاده شود.

## ۵- منابع

- [1] Kaushik, P., Dowling, K., Barrow, C. J., & Adhikari, B. 2015. Microencapsulation of omega-3 fatty acids: A review of microencapsulation and characterization methods. Journal of functional foods, 19, 868-881.
- [2] Aveyard, R., Binks, B. P., & Clint, J. H. 2003. "Emulsions stabilised solely by colloidal particles". Advances in Colloid and Interface Science, 100, 503-546.
- [3] Khalili, S. T., Mohsenifar, A., Beyki, M., Zhavaher, S., Rahmani-Cherati, T., Abdollahi, A., & Tabatabaei, M. 2015. Encapsulation of Thyme essential oils in chitosan-benzoic acid nanogel with enhanced antimicrobial activity against Aspergillus flavus. LWT-Food Science and Technology, 60(1), 502-508.
- [4] Elsabee, M. Z., Morsi, R. E., & Al-Sabagh, A. M. 2009. Surface active properties of chitosan and its derivatives. Colloids and

در مورد اثر روغن به تنها یکی بر شاخصهای رنگی نمونه های پاستیل مشاهده می شود که اضافه شدن ۲ درصد روغن ماهی به بافت پاستیل باعث تغییر معنی دار شاخصهای روشنایی، \*<sup>a</sup> b<sup>\*</sup> a<sup>\*</sup> b<sup>\*</sup> و کرومای در مقایسه با نمونه شاهد شده است (جدول ۲). اثر روغن بر شاخصهای روشنایی و \*<sup>a</sup> کاهشی و بر شاخص \*<sup>b</sup> و کرومای افزایشی بوده است. والنزا و همکاران (۲۰۱۳) در بررسی اثر روغن آفتتابگردان بر خواص فیزیکی فیلم کیتوزان-پروتئین بیان کردند که روغن می تواند باعث کاهش شاخص \*<sup>a</sup> و افزایش شاخصهای \*<sup>b</sup> و کرومای شود [۱۱] که در تطابق با مطالعه حاضر است. با توجه به جدول (۲) مشاهده می گردد که در مورد تمام شاخصهای رنگی اثر هم زمان روغن و نانوژل کیتوزان اثر کاهشی داشته است که با افزایش میزان روغن این اثر مشهود تر شده است. اثر بارزتر نمونه هایی که حاوی روغن و نانوژل هستند بر شاخصهای رنگی احتمالاً به وجود قطرات روغن در بافت پاستیل مربوط می شود. این قطرات روغن می توانند شفافیت نمونه ها را تغییر دهند. همچنین برهمکنش بین روغن و مولکول های آب شاخص انکساری ترکیبات هیدروکلوریدی را تغییر می دهد که این می تواند باعث تغییر شاخصهای رنگی شود [۱۸]. تمام نمونه ها در مقایسه با نمونه شاهد دارای اختلاف رنگ کلی ( $\Delta E$ ) معنی داری می باشند و وجود هم زمان نانوژل و روغن ماهی بر این ویژگی اثر بارز تری داشته است. لازم به ذکر است که اختلاف رنگ کمتر از ۴-۳ توسط چشم انسان قابل تشخیص نیست [۱۲]. همچنین مشاهده می شود که نمونه های حاوی ۲ و ۳ درصد روغن به همراه نانوژل کیتوزان اختلاف رنگ بالاتر از ۴ و در غلظت ۱ درصد کمتر از ۴ بوده است. این نتیجه نشان می دهد که استفاده از روغن ماهی به صورت پوشش داده شده در نانوژل کیتوزان تا ۱ درصد اثر منفی بر تغییر رنگ نخواهد داشت.

- [12] Benbettaïeb, N., Kurek, M., Bornaz, S., & Debeaufort, F. 2014. Barrier, structural and mechanical properties of bovine gelatin–chitosan blend films related to biopolymer interactions. *Journal of the Science of Food and Agriculture*, 94(12), 2409–2419.
- [13] Larkin, P. 2011. Infrared and Raman spectroscopy: principles and spectral interpretation. Elsevier.
- [14] Rao, K. S. V. K., Reddy, P. R., Lee, Y.-I., & Kim, C. 2012. Synthesis and characterization of chitosan–PEG–Ag nanocomposites for antimicrobial application. *Carbohydrate Polymers*, 87(1), 920–925.
- [15] Wang, X. H., Li, D. P., Wang, W. J., Feng, Q. L., Cui, F. Z., Xu, Y. X., van der Werf, M. 2003. Crosslinked collagen/chitosan matrix for artificial livers. *Biomaterials*, 24(19), 3213–3220.
- [16] Wang, L.-J., Hu, Y.-Q., Yin, S.-W., Yang, X.-Q., Lai, F.-R., & Wang, S.-Q. 2015. Fabrication and characterization of antioxidant pickering emulsions stabilized by zein/chitosan complex particles (ZCPs). *Journal of Agricultural and Food Chemistry*, 63(9), 2514–2524.
- [17] Wongkongkatep, P., Manopwisedjaroen, K., Tiposoth, P., Archakunakorn, S., Pongtarangkul, T., Suphantharika, M., Wongkongkatep, J. 2012. Bacteria Interface Pickering Emulsions Stabilized by Self-assembled Bacteria–Chitosan Network. *Langmuir*, 28(13), 5729–5736.
- [18] Pereda, M., Amica, G., & Marcovich, N. E. 2012. Development and characterization of edible chitosan/olive oil emulsion films. *Carbohydrate polymers*, 87(2), 1318–1325.
- [19] Surfaces B: Biointerfaces, 74(1), 1–16.
- [20] Kargar, M., Fayazmanesh, K., Alavi, M., Spyropoulos, F., & Norton, I. T. 2012. Investigation into the potential ability of Pickering emulsions (food-grade particles) to enhance the oxidative stability of oil-in-water emulsions. *Journal of Colloid and Interface Science*, 366(1), 209–215.
- [21] Kargar, M., Spyropoulos, F., & Norton, I. T. 2011. The effect of interfacial microstructure on the lipid oxidation stability of oil-in-water emulsions. *Journal of Colloid and Interface Science*, 357(2), 527–533.
- [22] Atarian, M., Rajaei, A., Tabatabaei, M., Mohsenifar, A., & Bodaghi, H. 2019. Formulation of Pickering sunflower oil-in-water emulsion stabilized by chitosan-stearic acid nanogel and studying its oxidative stability. *Carbohydrate polymers*, 210, 47–55.
- [23] Mwangi, W. W., Ho, K. W., Tey, B. T., & Chan, E. S. 2016. Effects of environmental factors on the physical stability of pickering-emulsions stabilized by chitosan particles. *Food Hydrocolloids*, 60, 543–550. <https://doi.org/10.1016/j.foodhyd.2016.04.023>
- [24] Xiao, J., Wang, X., Perez Gonzalez, A. J., & Huang, Q. 2016. Kafirin nanoparticles-stabilized Pickering emulsions: Microstructure and rheological behavior. *Food Hydrocolloids*, 54, 30–39.
- [25] Caine, W. R., Aalhus, J. L., Best, D. R., Dugan, M. E. R., & Jeremiah, L. E. 2003. Relationship of texture profile analysis and Warner-Bratzler shear force with sensory characteristics of beef rib steaks. *Meat science*, 64(4), 333–339.
- [26] Valenzuela, C., Abugoch, L., & Tapia, C. 2013. Quinoa protein–chitosan–sunflower oil edible film: Mechanical, barrier and structural properties. *LWT-Food Science and Technology*, 50(2), 531–537.

## **Investigation of PhysicoMechanical Properties of Functional Gummy Candy Fortified with Encapsulated Fish Oil in Chitosan-Stearic Acid Nanogel by Pickering Emulsion Method**

**Mirzaee Moghaddam, H.<sup>1\*</sup>**

1. Assistant Prof. in Department of Soil and Water, Faculty of Agriculture, Shahrood University of Technology,

**(Received: 2019/07/06 Accepted:2019/08/05)**

However, the beneficial effects of fish oil, which is fortified in omega-3 fatty acids, is known. But its high sensitivity to oxidation and the formation of undesirable compounds has limited its use in food systems. Therefore, the purpose of this study was the encapsulation of fish oil in chitosan-stearic acid nanogel, by Pickering emulsion method and import it into a food system (Gummy candy) and investigation the physicomechanical properties of the product. Initially, chitosan-stearic acid nanogel was created by self-assemble method and the results of FTIR confirmed the successful connection between chitosan and stearic acid. Also, SEM image showed that the nanoparticles formation was spherical nearly. In the next step, fish oil Pickering emulsions were prepared in different concentrations using chitosan-stearic acid nanogel and used in formulation of gummy candy and in continue, the texture profile analysis (TPA) and also the measurements of the color indexes of the samples were performed. The results of TPA showed that the existence of the nanogel, increased the Springiness (from% 88.5 to% 92.5) and adhesion (from Ns 0.33 to Ns 0.63) and reduced the hardness (from N 178.6 to N 125.8) of texture of gummy candy samples. On the other hand, the presence of fish oil reduced all of the texture indexes. About the color indexs, the nanogel decreased the L<sup>\*</sup> (from 58.13 to 56.46) and a<sup>\*</sup> (from -5.5 to -4.4) indexes. Also, the results showed that fish oil in combination with nanogels reduced the color indexes.

**Keywords:** Physicomechanical Properties, Fish Oil, Gummy Candy, Chitosan-Stearic Acid Nanogel, Pickering emulsion.

---

\* Corresponding Author E-Mail Address: hosseinsg@yahoo.com